



Großwetterlage

November 2014

erstellt durch die Vorhersage- und Beratungszentrale, Offenbach
Ausgabe: 02.02.2016

Zonale Zirkulation

| | Nr. | GW zählt als | Jan. | Feb. | W | März | April | Mai | F | Juni | Juli | Aug. | S | Sept. | Okt. | Nov. | H | Dez. | Jahr | | | | |
|--------------------|-----|--------------------|----------|----------|-----------|----------|----------|----------|-----------|----------|----------|----------|----------|----------|----------|----------|-----------|----------|-----------|---|---|---|---|
| Wa | 1 | a | - | - | | 3 | - | - | | - | - | - | | 5 | - | - | | - | | | | | |
| Wz | 2 | z | 4 | - | | - | - | - | | - | - | - | | - | - | - | | - | | - | - | - | - |
| Ws | 3 | z | 3 | 6 | | - | 2 | 1 | | - | - | - | | - | - | - | | 5 | | - | - | - | - |
| Ww | 4 | z | - | 3 | | 4 | - | - | | - | - | 5 | | - | - | - | | - | | - | - | - | - |
| W (GT) | | | 7 | 9 | 16 | 7 | 2 | 1 | 10 | 0 | 5 | 0 | 5 | 5 | 5 | 0 | 10 | 0 | 41 | | | | |
| zonale Zirkulation | | | 7 | 9 | 16 | 7 | 2 | 1 | 10 | 0 | 5 | 0 | 5 | 5 | 5 | 0 | 10 | 0 | 41 | | | | |

Gemischte Zirkulation

| | Nr. | GW zählt als | Jan. | Feb. | W | März | April | Mai | F | Juni | Juli | Aug. | S | Sept. | Okt. | Nov. | H | Dez. | Jahr |
|-----------------------|-----------|--------------------|----------|-----------|-----------|-----------|----------|----------|-----------|----------|----------|----------|-----------|----------|-----------|----------|-----------|----------|-----------|
| SWa | 5 | H+a | - | 3 | | - | - | - | | - | - | - | | - | 11 | - | | - | |
| SWz | 6 | z | 8 | 11 | | 3 | 3 | 5 | | - | - | - | | - | - | - | | 5 | |
| SW (GT) | | | 8 | 14 | 22 | 3 | 3 | 5 | 11 | 0 | 0 | 0 | 0 | 0 | 16 | 3 | 19 | 0 | 52 |
| NWa | 7 | a | - | - | | 3 | 5 | - | | 8 | - | - | | - | - | - | | - | |
| NWz | 8 | z | - | - | | - | - | - | | - | - | - | | 3 | - | - | | 3 | |
| NW (GT) | | | 0 | 0 | 0 | 3 | 5 | 0 | 8 | 8 | 0 | 3 | 11 | 0 | 3 | 0 | 3 | 0 | 22 |
| HM | 9 | H+a | - | - | | 3 | 4 | - | | - | - | - | | - | - | - | | - | |
| BM | 10 | H+a | - | - | | 7 | - | - | | - | - | 4 | | - | - | - | | - | |
| HM (GT) | | | 0 | 0 | 0 | 10 | 4 | 0 | 14 | 0 | 4 | 0 | 4 | 0 | 0 | 3 | 3 | 0 | 21 |
| TM (GT) | 11 | T+z | - | - | 0 | - | - | 4 | 4 | 3 | 9 | - | 12 | - | - | - | 0 | - | 16 |
| gemischte Zirkulation | | | 8 | 14 | 22 | 16 | 12 | 9 | 37 | 11 | 13 | 3 | 27 | 0 | 19 | 6 | 25 | 0 | 111 |

Meridiane Zirkulation

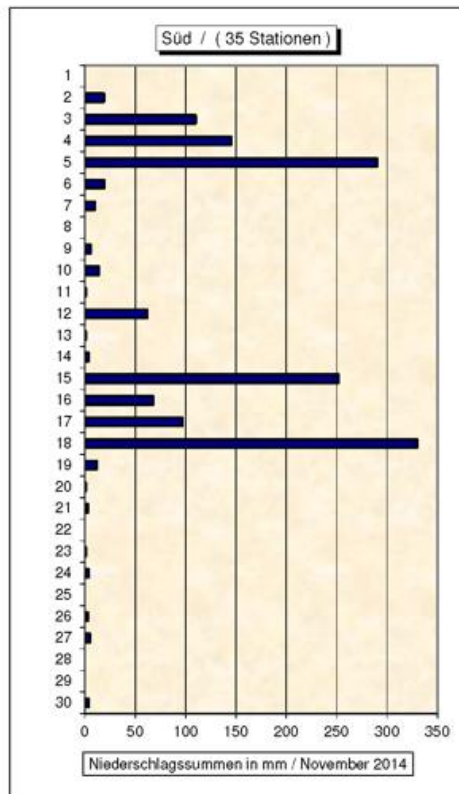
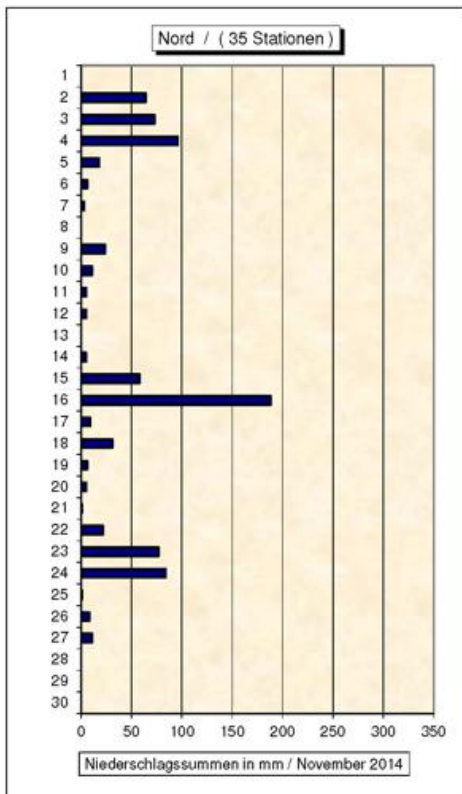
| | Nr. | GW zählt als | Jan. | Feb. | W | März | April | Mai | F | Juni | Juli | Aug. | S | Sept. | Okt. | Nov. | H | Dez. | Jahr |
|------------------------------|-----|--------------------|-----------|----------|-----------|----------|-----------|-----------|-----------|-----------|-----------|-----------|-----------|-----------|----------|-----------|-----------|----------|------------|
| Na | 12 | a | - | - | | - | - | - | | - | - | - | | 5 | - | - | | - | |
| Nz | 13 | z | - | - | | - | - | - | | - | - | - | | - | - | - | | - | |
| HNa | 14 | a | - | - | | - | - | 4 | | - | - | - | | - | - | - | | - | |
| HNz | 15 | T+z | - | - | | - | - | - | | 4 | - | 6 | | - | - | - | | - | |
| HB | 16 | a | - | - | | - | - | - | | 5 | - | - | | 4 | - | - | | - | |
| TrM | 17 | T+z | - | - | | 3 | - | 4 | | - | - | 10 | | - | - | - | | - | |
| N (GT) | | | 0 | 0 | 0 | 3 | 0 | 8 | 11 | 9 | 0 | 16 | 25 | 9 | 0 | 0 | 9 | 0 | 45 |
| NEa | 18 | H+a | - | - | | - | - | - | | - | - | - | | - | - | - | | - | |
| NEz | 19 | T+z | - | - | | 3 | 5 | 6 | | 2 | - | - | | 6 | - | - | | - | |
| HFa | 20 | H+a | - | - | | - | - | - | | - | - | - | | 3 | 3 | 5 | | - | |
| HFz | 21 | T+z | 7 | - | | - | 4 | - | | - | 3 | 3 | | - | - | - | | - | |
| HNFa | 22 | H+a | - | - | | - | 3 | - | | - | - | - | | - | - | - | | - | |
| HNFz | 23 | T+z | - | - | | - | - | - | | - | 6 | - | | 4 | - | - | | - | |
| SEa | 24 | H+a | - | - | | - | - | - | | - | - | - | | - | - | 5 | | - | |
| SEz | 25 | T+z | - | - | | - | - | - | | - | - | - | | 3 | - | - | | - | |
| E (GT) | | | 7 | 0 | 7 | 3 | 12 | 6 | 21 | 2 | 9 | 3 | 14 | 16 | 3 | 10 | 29 | 0 | 71 |
| Sa | 26 | H+a | - | - | | 2 | 1 | - | | 8 | - | - | | - | 4 | - | | - | |
| Sz | 27 | z | 2 | 5 | | - | - | 7 | | - | - | - | | - | - | - | | - | |
| TB | 28 | z | 7 | - | | - | 3 | - | | - | - | 9 | | - | - | 7 | | - | |
| TrW | 29 | z | - | - | | - | - | - | | - | 4 | - | | - | - | 7 | | - | |
| S (GT) | | | 9 | 5 | 14 | 2 | 4 | 7 | 13 | 8 | 4 | 9 | 21 | 0 | 4 | 14 | 18 | 0 | 66 |
| meridiane Zirkulation | | | 16 | 5 | 21 | 8 | 16 | 21 | 45 | 19 | 13 | 28 | 60 | 25 | 7 | 24 | 56 | 0 | 182 |

Summe

| | Nr. | GW zählt als | Jan. | Feb. | W | März | April | Mai | F | Juni | Juli | Aug. | S | Sept. | Okt. | Nov. | H | Dez. | Jahr |
|----------------------------|-----|--------------------|------|------|----|------|-------|-----|----|------|------|------|----|-------|------|------|----|------|------|
| Übergangs - lage (Tage) | | | - | - | 0 | - | - | - | 0 | - | - | - | 0 | - | - | - | 0 | - | 0 |
| Σ a | | | 0 | 3 | 3 | 18 | 13 | 4 | 35 | 21 | 4 | 0 | 25 | 17 | 18 | 13 | 48 | 0 | 111 |
| Σ z | | | 31 | 25 | 56 | 13 | 17 | 27 | 57 | 9 | 27 | 31 | 67 | 13 | 13 | 17 | 43 | 0 | 223 |
| Σ H | | | 0 | 3 | 3 | 12 | 8 | 0 | 20 | 8 | 4 | 0 | 12 | 3 | 18 | 13 | 34 | 0 | 69 |
| Σ T | | | 7 | 0 | 7 | 6 | 9 | 14 | 29 | 9 | 18 | 19 | 46 | 13 | 0 | 0 | 13 | 0 | 95 |

| GWL 2014 | GWL nach Hess & Brezowsky | Kurzbeschreibung |
|------------------------------|---------------------------|-----------------------------------------------------------------------------------------------------------------------------------------------------------------------------------------------------------------------------------------------------------------------------------------------------------------------------------------------------------------------------------------------------------------------------------------------------------------------------------------------------------------------------------------------------------------------------------------------------------------------------------------|
| Samstag, den 01. November | SWz | Der Hochdruckkeil über dem Kontinent verlagert sich ostwärts und der nordostatlantische Trog schwenkt unter Verstärkung in Richtung Britische Inseln. Nun können mehrere Frontensysteme des korrespondierenden Bodentiefs Zentraleuropa überqueren. |
| Sonntag, den 02. November | SWz | |
| Montag, den 03. November | SWz | |
| Dienstag, den 04. November | TrW | Der Höhentrog bei den Britischen Inseln wird durch Zufuhr von Polarluft aus der Region zwischen Grönland und Nowaja Semlja genährt, so dass er seine Amplitude vergrößern und sich, nahezu in Nord-Süd-Richtung verlaufend, bis nach Nordwestafrika erstrecken kann. Etwa um die Mitte des betrachteten Zeitraumes schnürt sich der Südteil des Troges ab und drifet unter Auffüllung ostwärts über das Mittelmeer davon. Ein weiterer Polarluftausbruch regeneriert quasi den Trog über Westeuropa, der erneut äquatorwärts bis in den Maghreb vorstoßen kann. Mitteleuropa wird zeitweise von meist schwachen Tiefausläufern gestört. |
| Mittwoch, den 05. November | TrW | |
| Donnerstag, den 06. November | TrW | |
| Freitag, den 07. November | TrW | |
| Samstag, den 08. November | TrW | |
| Sonntag, den 09. November | TrW | |
| Montag, den 10. November | TrW | |
| Dienstag, den 11. November | TB | Zwischen der Irmingersee und Skandinavien erhöht sich ein zunächst flacher Sattel im Geopotentialfeld, dazu korrespondierend verstärkt sich im Bodenniveau ein Hoch an der Ostküste Grönlands und verbindet sich im weiteren Verlauf zeitweise mit dem Hoch über Russland. Innerhalb des nach wie vor existenten nordatlantischen Trogsystems wird das Gebiet mit der kältesten Luft zeitweilig isoliert. Damit einher gehende Hebungsprozesse sorgen bei den Britischen Inseln oder westlich davon für eine kräftige Zyklone, die sich quasi regeneriert und mit einem Kerndruck von weniger als 965 hPa Sturmtiefcharakter annimmt. |
| Mittwoch, den 12. November | TB | |
| Donnerstag, den 13. November | TB | |
| Freitag, den 14. November | TB | |
| Samstag, den 15. November | TB | |
| Sonntag, den 16. November | TB | |
| Montag, den 17. November | TB | |
| Dienstag, den 18. November | HFa | Während der nun über Westeuropa befindliche Trog von einem Rücken nach Südosteuropa abgedrängt wird, bewirkt grönländische Kaltluft einen neuen nordatlantischen Tiefdrucktrog. Wetterbestimmend für Mitteleuropa ist allerdings das hohe Geopotential über Fennoskandien und Osteuropa, dort manifestiert sich am Boden ein ausgedehntes und beständiges Hoch. Mitteleuropa wird an dessen Südwestflanke von meist schwachen Tiefausläufern gestört. |
| Mittwoch, den 19. November | HFa | |
| Donnerstag, den 20. November | HFa | |
| Freitag, den 21. November | HFa | |
| Samstag, den 22. November | HFa | Vom Nordatlantik her steigt das Geopotential rasch und baut den vorangehenden Trog über Westeuropa ab. Von den Azoren bis nach Mittelrussland herrscht hoher Luftdruck, der nur von einer flachen, meridionalen Tiefdruckrinne mit schwachen Tiefausläufern gestört wird. |
| Sonntag, den 23. November | BM | |
| Montag, den 24. November | BM | |
| Dienstag, den 25. November | BM | |
| Mittwoch, den 26. November | SEa | |
| Donnerstag, den 27. November | SEa | |
| Freitag, den 28. November | SEa | |
| Samstag, den 29. November | SEa | Kaltluftausbrüche von Grönland sowie aus der Region zwischen Spitzbergen und Nowaja Semlja bewirken Tröge über dem Nordatlantik sowie über Osteuropa. Während über dem Nordatlantik intensive zyklonenetische Prozesse stattfinden, kann das russische Kältehoch sich retrograd nach Westen auswirken. Später dominiert ein Cut-Off-Tief den Mittelmeerraum, Zentraleuropa dagegen wird bei südöstlicher Strömung kaum von Tiefausläufern beeinflusst. |
| Sonntag, den 30. November | SEa | |

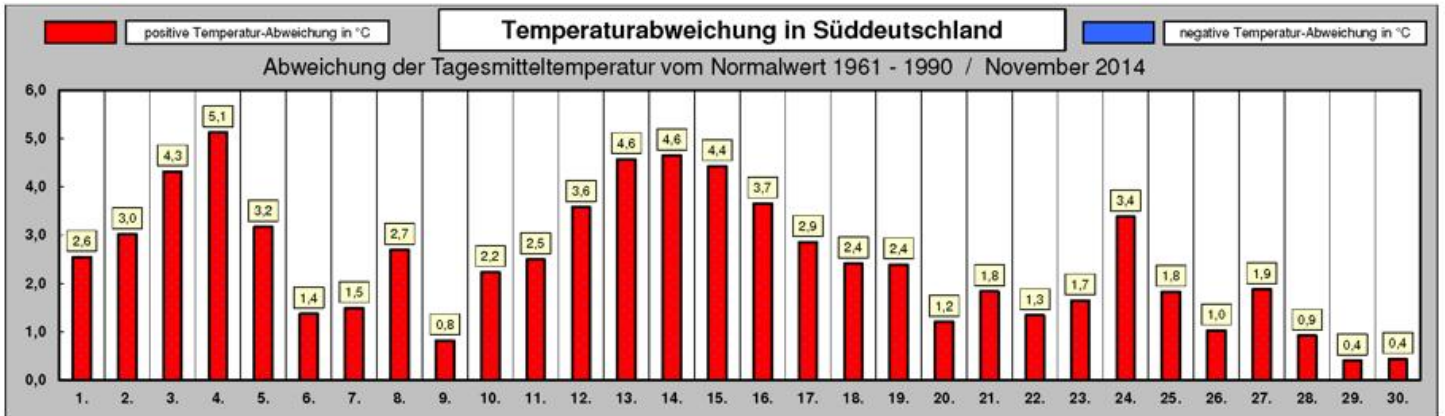
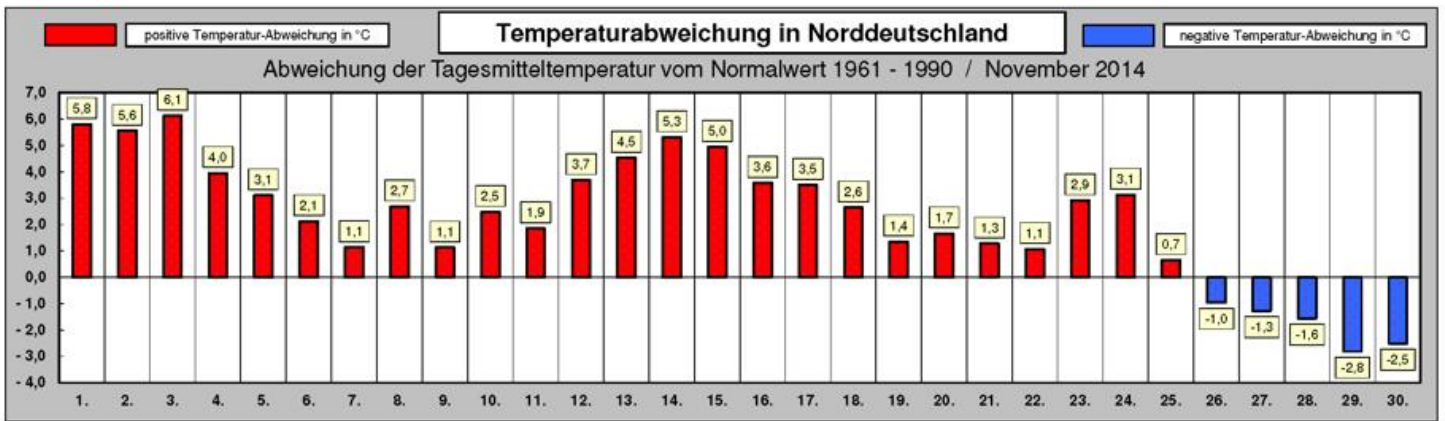
| Legende zur Großwetterlagen-Tabelle | | | |
|-------------------------------------|-------------|--------------------------------------------------------------------|----------------|
| Nummer | Abkürzung | Großwetterlage | Farbe |
| 1 | Wa | Westlage, Mitteleuropa überwiegend antizyklonal | Hellgrün |
| 2 | Wz | Westlage, Mitteleuropa überwiegend zyklonal | Grelles Grün |
| 3 | WS | Südliche Westlage | Meeresgrün |
| 4 | WW | Winkelförmige Westlage | Grün |
| 5 | SWa | Südwestlage, Mitteleuropa überwiegend antizyklonal | Hellorange |
| 6 | SWz | Südwestlage, Mitteleuropa überwiegend zyklonal | Orange |
| 7 | NWa | Nordwestlage, Mitteleuropa überwiegend antizyklonal | Türkis |
| 8 | NWz | Nordwestlage, Mitteleuropa überwiegend zyklonal | Blaugrün |
| 9 | HM | Hoch Mitteleuropa | Weiß |
| 10 | BM | Hochdruckbrücke Mitteleuropa | Hellgrau 25% |
| 11 | TM | Tief Mitteleuropa | Grau 50% |
| 12 | Na | Nordlage, Mitteleuropa überwiegend antizyklonal | Blassblau |
| 13 | Nz | Nordlage, Mitteleuropa überwiegend zyklonal | Blau |
| 14 | HNa | Hoch Nordmeer-Inland, Mitteleuropa überwiegend antizyklonal | Himmelblau |
| 15 | HNz | Hoch Nordmeer-Inland, Mitteleuropa überwiegend zyklonal | Blaugrau |
| 16 | HB | Hoch Britische Inseln | Helltürkis |
| 17 | TrM | Trog Mitteleuropa | Dunkelgrau 80% |
| 18 | NEa | Nordostlage, Mitteleuropa überwiegend antizyklonal | Lavendel |
| 19 | NEz | Nordostlage, Mitteleuropa überwiegend zyklonal | Pflaume |
| 20 | HFa | Hoch Fennoskandien, Mitteleuropa überwiegend antizyklonal | Hellrosa |
| 21 | HFz | Hoch Fennoskandien, Mitteleuropa überwiegend zyklonal | Rosa |
| 22 | HNFa | Hoch Nordmeer-Fennoskandien, Mitteleuropa überwiegend antizyklonal | Hellgelb |
| 23 | HNfz | Hoch Nordmeer-Fennoskandien, Mitteleuropa überwiegend zyklonal | Dunkelgelb |
| 24 | SEa | Südostlage, Mitteleuropa überwiegend antizyklonal | Gelb |
| 25 | SEz | Südostlage, Mitteleuropa überwiegend zyklonal | Gold |
| 26 | Sa | Südlage, Mitteleuropa überwiegend antizyklonal | Gelbbraun |
| 27 | Sz | Südlage, Mitteleuropa überwiegend zyklonal | Rot |
| 28 | TB | Tief Britische Inseln | Braun |
| 29 | TrW | Trog Westeuropa | Dunkelrot |
| 30 | Ü | Übergangslage / Unbestimmt | Grau 40% |



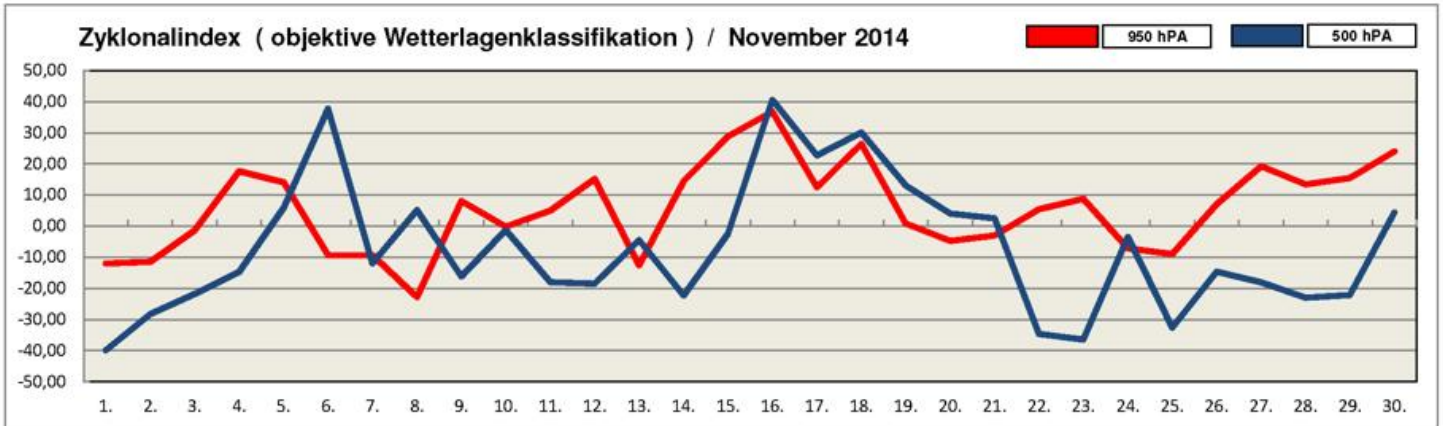
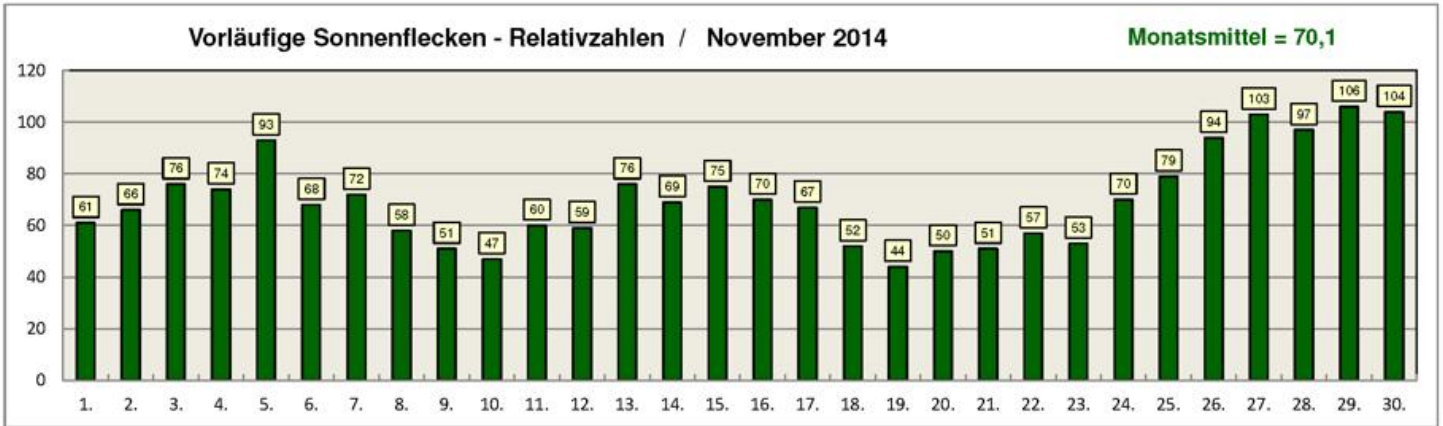
| Tag | Nord | Süd |
|-----|------|-----|
| 1. | 0 | 1 |
| 2. | 24 | 10 |
| 3. | 25 | 11 |
| 4. | 22 | 16 |
| 5. | 23 | 32 |
| 6. | 8 | 13 |
| 7. | 14 | 24 |
| 8. | 1 | 0 |
| 9. | 16 | 12 |
| 10. | 25 | 17 |
| 11. | 5 | 2 |
| 12. | 17 | 22 |
| 13. | 3 | 5 |
| 14. | 2 | 5 |
| 15. | 12 | 27 |
| 16. | 34 | 24 |
| 17. | 15 | 24 |
| 18. | 22 | 34 |
| 19. | 14 | 19 |
| 20. | 7 | 4 |
| 21. | 3 | 7 |
| 22. | 18 | 2 |
| 23. | 27 | 4 |
| 24. | 29 | 11 |
| 25. | 2 | 3 |
| 26. | 8 | 8 |
| 27. | 9 | 7 |
| 28. | 1 | 1 |
| 29. | 0 | 0 |
| 30. | 0 | 8 |

Anzahl der Stationen mit Niederschlag

Temperaturabweichung in Deutschland



Witterungsverlauf : Sonnenflecken und Zyklonalindex



| Stationen | Temperatur | Abweichung | Niederschlag | Abweichung | Sonnenschein | Abweichung | Luftdruck | Abweichung | |
|-----------|------------------|------------|--------------|------------|--------------|---------------|-----------|------------|-----------|
| 10035 | Schleswig | 7,1 °C | + 2,2 °C | 28,3 mm | 27,0 % | 65,0 Stunden | 128,0 % | 1013,6 hPA | + 1,4 hPA |
| 10113 | Norderney | 7,9 °C | + 1,6 °C | 26,0 mm | 29,7 % | 72,8 Stunden | 130,0 % | 1011,7 hPA | - 0,7 hPA |
| 10147 | Hamburg | 7,1 °C | + 2,0 °C | 26,5 mm | 37,3 % | 59,9 Stunden | 113,0 % | 1013,7 hPA | + 0,6 hPA |
| 10170 | Rostock | 7,6 °C | + 2,3 °C | 12,3 mm | 24,1 % | 48,4 Stunden | 91,7 % | 1014,8 hPA | + 1,9 hPA |
| 10338 | Hannover | 7,6 °C | + 2,6 °C | 20,9 mm | 40,0 % | 58,9 Stunden | 114,4 % | 1013,5 hPA | - 0,9 hPA |
| 10379 | Potsdam | 6,7 °C | + 2,5 °C | 9,0 mm | 19,1 % | 61,9 Stunden | 114,6 % | 1015,2 hPA | - 0,0 hPA |
| 10410 | Essen | 8,4 °C | + 2,7 °C | 42,4 mm | 51,1 % | 89,4 Stunden | 160,5 % | 1011,4 hPA | - 3,7 hPA |
| 10438 | Kassel | 6,3 °C | + 2,2 °C | 28,5 mm | 44,5 % | 46,4 Stunden | 102,7 % | 1013,6 hPA | - 2,1 hPA |
| 10453 | Brocken | 4,0 °C | + 4,5 °C | 32,9 mm | 17,5 % | 106,2 Stunden | 210,7 % | 1014,0 hPA | - 1,4 hPA |
| 10469 | Leipzig | 6,6 °C | + 1,8 °C | 5,6 mm | 12,6 % | 82,6 Stunden | 175,7 % | 1014,7 hPA | - 1,1 hPA |
| 10496 | Cottbus | 6,8 °C | + 2,2 °C | 7,2 mm | 17,0 % | 54,7 Stunden | 97,9 % | 1015,6 hPA | + 0,0 hPA |
| 10567 | Gera | 5,6 °C | + 2,0 °C | 16,1 mm | 39,0 % | 88,2 Stunden | 133,6 % | 1014,6 hPA | - 2,0 hPA |
| 10609 | Trier | 7,2 °C | + 2,6 °C | 77,8 mm | 104,6 % | 31,0 Stunden | 62,8 % | 1012,1 hPA | - 6,0 hPA |
| 10637 | Frankfurt (Main) | 7,5 °C | + 2,8 °C | 46,8 mm | 78,8 % | 32,4 Stunden | 66,9 % | 1013,3 hPA | - 5,0 hPA |
| 10739 | Stuttgart | 7,5 °C | + 2,8 °C | 51,4 mm | 106,6 % | 73,2 Stunden | 103,1 % | 1013,2 hPA | - 4,3 hPA |
| 10763 | Nürnberg | 6,1 °C | + 2,2 °C | 32,1 mm | 72,6 % | 60,5 Stunden | 105,6 % | 1014,3 hPA | - 3,0 hPA |
| 10803 | Freiburg | 7,6 °C | + 2,5 °C | 77,7 mm | 135,8 % | 59,7 Stunden | 93,6 % | 1012,9 hPA | - 6,0 hPA |
| 10870 | München | 5,7 °C | + 2,9 °C | 36,7 mm | 67,3 % | 52,8 Stunden | 87,9 % | 1014,4 hPA | - 3,7 hPA |
| 10895 | Passau | 5,6 °C | + 3,4 °C | 30,2 mm | 48,2 % | 58,6 Stunden | 97,0 % | 1014,8 hPA | - 5,0 hPA |
| 10961 | Zugspitze | -2,7 °C | + 4,4 °C | 51,0 mm | 32,2 % | 133,2 Stunden | 100,1 % | 1014,0 hPA | - 4,7 hPA |

* Bei allen Abweichungswerten wird der aktuelle Monatsmittelwert dem 30-jährigen Mittelwert (climat-Wert) aus dem Zeitraum 1961 bis 1990 gegenüber gestellt !

| Stationen | Temperatur | Abweichung | Niederschlag | Abweichung | Sonnenschein | Abweichung | Luftdruck | Abweichung | |
|-----------|------------------|------------|--------------|------------|--------------|---------------|-----------|------------|------------|
| 01026 | Tromsö | 0,4 °C | + 1,2 °C | 62,0 mm | 59,6 % | 4,0 Stunden | 66,7 % | 1015,7 hPA | + 12,8 hPA |
| 02935 | Jyväskylä | 0,1 °C | + 2,3 °C | 43,0 mm | 72,9 % | 8,0 Stunden | 31,5 % | 1023,1 hPA | + 14,6 hPA |
| 03005 | Lerwick | 8,2 °C | + 3,1 °C | 116,0 mm | 81,1 % | 39,0 Stunden | 125,8 % | 1007,6 hPA | + 1,1 hPA |
| 03091 | Aberdeen | 8,3 °C | + 3,3 °C | 119,0 mm | 158,7 % | 33,0 Stunden | 53,2 % | 1005,7 hPA | - 3,5 hPA |
| 03772 | London | 9,8 °C | + 2,6 °C | 128,0 mm | 232,7 % | 51,0 Stunden | 75,0 % | 1006,8 hPA | - 7,8 hPA |
| 04030 | Reykjavik | 5,5 °C | + 4,4 °C | 57,0 mm | 78,6 % | 28,0 Stunden | 72,7 % | 998,9 hPA | - 5,1 hPA |
| 06260 | De Bilt | 8,2 °C | + 2,3 °C | 47,0 mm | 58,0 % | 89,0 Stunden | 161,8 % | 1010,3 hPA | - 3,6 hPA |
| 06447 | Brüssel | 8,8 °C | + 2,7 °C | 41,0 mm | 53,9 % | 89,0 Stunden | 137,8 % | 1009,7 hPA | - 5,3 hPA |
| 06590 | Luxemburg | 6,8 °C | + 3,0 °C | 61,0 mm | 73,5 % | 32,0 Stunden | 57,7 % | 1012,0 hPA | - 4,6 hPA |
| 06700 | Genf | 8,2 °C | + 3,2 °C | 108,0 mm | 117,4 % | 47,0 Stunden | 77,0 % | 1013,1 hPA | - 5,5 hPA |
| 06770 | Lugano | 10,0 °C | + 2,6 °C | 587,0 mm | 489,2 % | 68,0 Stunden | 62,4 % | 1014,9 hPA | - 2,5 hPA |
| 07149 | Paris | 9,6 °C | + 2,8 °C | 58,0 mm | 100,0 % | 66,0 Stunden | 88,0 % | 1009,4 hPA | - 8,4 hPA |
| 07222 | Nantes | 11,0 °C | + 2,4 °C | 133,0 mm | 152,9 % | 86,0 Stunden | 94,5 % | 1007,2 hPA | - 10,4 hPA |
| 07690 | Nizza | 14,6 °C | + 2,2 °C | 563,0 mm | 541,3 % | 109,0 Stunden | 69,9 % | 1012,2 hPA | - 4,5 hPA |
| 08221 | Madrid | 11,1 °C | + 2,2 °C | 103,0 mm | 174,6 % | 123,0 Stunden | 83,7 % | 1011,0 hPA | - 8,8 hPA |
| 08509 | Azoren (Lajes) | 15,8 °C | - 0,2 °C | 63,0 mm | 46,7 % | 116,0 Stunden | 105,5 % | 1019,2 hPA | - 1,3 hPA |
| 08535 | Lissabon | 15,1 °C | + 0,6 °C | 294,0 mm | 257,9 % | 100,0 Stunden | 63,7 % | 1010,5 hPA | - 8,2 hPA |
| 11035 | Wien | 8,1 °C | + 3,5 °C | 35,0 mm | 70,0 % | 55,0 Stunden | 82,1 % | 1016,3 hPA | - 1,6 hPA |
| 11150 | Salzburg | 6,7 °C | + 2,7 °C | 16,0 mm | 21,6 % | 81,0 Stunden | 108,0 % | 1014,0 hPA | - 4,6 hPA |
| 11518 | Prag | 5,9 °C | + 3,1 °C | 22,0 mm | 68,8 % | 25,0 Stunden | 49,0 % | 1015,9 hPA | - 1,3 hPA |
| 12205 | Stettin | 6,6 °C | + 2,2 °C | 9,0 mm | 19,6 % | 48,0 Stunden | 120,0 % | 1016,5 hPA | + 2,6 hPA |
| 12375 | Warschau | 4,8 °C | + 1,6 °C | 16,0 mm | 38,1 % | 42,0 Stunden | 68,9 % | 1020,3 hPA | + 4,3 hPA |
| 12843 | Budapest | 7,3 °C | + 2,5 °C | 26,0 mm | 50,0 % | 49,0 Stunden | 69,0 % | 1019,3 hPA | + 1,0 hPA |
| 13274 | Belgrad | 9,6 °C | + 2,6 °C | 9,0 mm | 16,7 % | 98,0 Stunden | 110,1 % | 1018,8 hPA | + 0,0 hPA |
| 15420 | Bukarest | 5,0 °C | - 0,2 °C | 41,0 mm | 83,7 % | 34,0 Stunden | 38,9 % | 1022,8 hPA | + 3,3 hPA |
| 15614 | Sofia | 6,2 °C | + 1,2 °C | 35,0 mm | 74,5 % | 62,0 Stunden | 68,1 % | 1021,3 hPA | + 0,8 hPA |
| 16597 | Malta (Luqa) | 18,9 °C | + 1,9 °C | 89,0 mm | 111,3 % | 169,0 Stunden | 91,4 % | 1015,5 hPA | - 2,4 hPA |
| 16714 | Athen | 14,9 °C | + 0,4 °C | 36,0 mm | 70,6 % | 80,0 Stunden | 53,7 % | 1019,7 hPA | + 2,1 hPA |
| 17116 | Bursa | 11,3 °C | + 0,4 °C | 77,0 mm | 95,1 % | 102,0 Stunden | 78,5 % | 1021,3 hPA | + 2,1 hPA |
| 22550 | Archangelsk | -2,2 °C | + 2,7 °C | 52,0 mm | 102,0 % | 23,0 Stunden | 121,1 % | 1021,8 hPA | + 13,1 hPA |
| 27595 | Kasan | -3,2 °C | - 0,1 °C | 24,0 mm | 54,5 % | 28,0 Stunden | 68,3 % | 1029,8 hPA | + 10,6 hPA |
| 34300 | Charkow | 0,6 °C | - 0,7 °C | 9,0 mm | 20,5 % | 51,0 Stunden | 108,5 % | 1027,6 hPA | + 8,2 hPA |